Министерство образования и науки Российской Федерации

федеральное государственное автономное образовательное учреждение высшего образования

«НАЦИОНАЛЬНЫЙ ИССЛЕДОВАТЕЛЬСКИЙ ТОМСКИЙ ПОЛИТЕХНИЧЕСКИЙ УНИВЕРСИТЕТ»

Институт физики высоких технологий

Направление подготовки <u>Материаловедение и технологии материаловедение в машиностроении</u>

Кафедра <u>Материаловедение в машиностроении</u>

МАГИСТЕРСКАЯ ДИССЕРТАЦИЯ

Тема работы
Исследование влияния ультразвуковой обработки на микроструктуру и механические
свойства технического титана ВТ1-0

УДК 620.18

Студент

Группа	ФИО	Подпись	Дата
4БМ4А	Хайруллин Рустам Равильевич		

Руководитель

Должность	ФИО	Ученая степень,	Подпись	Дата
		звание		
Зав. лаб. ФПЯ ИФПМ	Панин А. В.	Д. фм.н.,		
CO PAH		доцент		

КОНСУЛЬТАНТЫ:

По разделу «Финансовый менеджмент, ресурсоэффективность и ресурсосбережение»

Должность	ФИО	Ученая степень,	Подпись	Дата
		звание		
Старший	Гаврикова Н. А.			
преподаватель				

По разделу «Социальная ответственность»

Должность	ФИО	Ученая степень, звание	Подпись	Дата
Профессор	Федорчук Ю. М.	Д. т. н		

ДОПУСТИТЬ К ЗАЩИТЕ:

Зав. кафедрой	ФИО	Ученая степень,	Подпись	Дата
		звание		
Материаловедение в	Панин В.Е.	Д. фм.н.,		
машиностроении		акад. РАН		

Планируемые результаты обучения по ООП 22.04.01 Материаловедение и технологии материалов (магистратура)

Код результата	Результат обучения (выпускник должен быть готов)
P1	Осуществлять сбор, анализ и обобщение научно-технической информации в области материаловедения и технологии материалов с использованием современных информационно-коммуникационных технологий, глобальных информационных ресурсов
P2	Работать с патентным законодательством и авторским правом при подготовке документов к патентованию и оформлению ноу-хау
Р3	Выполнять маркетинговые исследования и анализировать технологический процесс как объекта управления, разрабатывать технико-экономическое обоснование инновационных решений в профессиональной деятельности
P4	Руководить коллективом в сфере своей профессиональной деятельности, толерантно воспринимая социальные, этнические, конфессиональные и культурные различия
P5	Внедрять в производство технологии получения керамических, металлических материалов и изделий, в том числе наноматериалов, быть готовым к профессиональной эксплуатации современного оборудования и приборов, позволяющих получать и диагностировать материалы и изделия различного назначения.
Р6	Разрабатывать новые и модернизировать существующие технологии получения керамических, металлических материалов и изделий, в том числе наноматериалов
P7	Внедрять системы управления качеством продукции в области материаловедения, эксплуатировать оборудование, позволяющее диагностировать материалы и изделия из них, в том числе наноматериалы
P8	Действовать в нестандартных ситуациях, нести социальную и этическую ответственность за принятые решения, выбирать наиболее рациональные способы защиты и порядка в действиях малого коллектива в чрезвычайных ситуациях
Р9	Общаться в устной и письменной формах на государственном языке РФ и иностранном языке для решения задач профессиональной деятельности, подготавливать и представлять презентации планов и результатов собственной и командной деятельности, формировать и отстаивать собственные суждения и научные позиции
P10	Самостоятельно осваивать новые методы исследования, изменять научный, научно-педагогический и производственный профиль своей профессиональной деятельности
P11	Применять принципы рационального использования природных ресурсов, основные положения и методы социальные, гуманитарные и экономические подходы при решении профессиональных задач с учетом последствий для общества, экономики и экологии.
P12 Использовать основные категории и понятия о производственного менеджмента в профессиональной дея	

Министерство образования и науки Российской Федерации

федеральное государственное автономное образовательное учреждение высшего образования

«НАЦИОНАЛЬНЫЙ ИССЛЕДОВАТЕЛЬСКИЙ ТОМСКИЙ ПОЛИТЕХНИЧЕСКИЙ УНИВЕРСИТЕТ»

Институт <u>физики высоких технологий</u>
Направление подготовки <u>Материаловедение и технологии материаловедение и машиностроении</u>
Кафедра <u>Материаловедение в машиностроении</u>

		ГВЕРЖДАЮ: ав. кафедрой	_. Панин В. Е.
	ЗАДАНИЕ		
	лнение выпускной квалифик	ационной работы	
В форме:			
Магистерской диссертаци	И		
(бакалаврска Студенту:	ой работы, дипломного проекта/работы, м	агистерской диссертации)	
Группа		ФИО	
4БМ4А	Хайруллин Рустам Равильевич	H	
Тема работы:			
Исследование влияния	ультразвуковой обработки на	микроструктуру и	механические
свойства технического ти	гана BT1-0		
Утверждена приказом дир	ректора ИФВТ	Приказ № <u>3139/с</u> с	от <u>25.04.2016 г</u> .
Срок сдачи студентом вып	полненной работы:		

ТЕХНИЧЕСКОЕ ЗАДАНИЕ:

Исходные данные к работе

(наименование объекта исследования или проектирования; производительность или нагрузка; режим работы (непрерывный, периодический, циклический и т. д.); вид сырья или материал изделия; требования к продукту, изделию или процессу; особые требования к особенностям функционирования (эксплуатации) объекта или изделия в плане безопасности эксплуатации, влияния на окружающую среду, энергозатратам; экономический анализ и т. д.).

Объектом исследования являются образцы технически чистого титана марки BT1-0 (0.2 % Al, 0.4 % Zr, 0.3 % Mn, 0.01 % Cr, 0.06 % Si, 0.2 % Fe, 0.02~%~ Си и 98.8~%~ Ті), взятые в двух состояниях: в состоянии поставки (холодная прокатка на 5%, затем отжиг при 650 $^{\circ}$ С в течение 1ч) и подвергнутые рекристаллизационному отжигу в вакууме при температуре 750°C в течение 1 часа. Средний размер зерна образцов, находящихся в состоянии поставки составляет 40 мкм, а рекристаллизованных- 100 мкм. Ультразвуковую обработку образцов ВТ1-0 проводили инструментом, представляющим собой колебательную систему, состоящую из ультразвукового магнитострикционного преобразователя и волноводаконцентратора, к торцу которого присоединен сферический ударник из твердого сплава марки ВК8. В процессе ультразвуковой обработки ударник прижимается к обрабатываемой поверхности образцов BT1-0 с силой 200 Н, совершая колебания с частотой ~22 кГц и амплитудой ~40 мкм. Диаметр ударника и скорость его движения вдоль поверхности образцов составляли 10 мм и 0,015 м/с, соответственно. Образцы ВТ1-0 не токсичны. Стоимость образцов ВТІ-0 не превышает 5000р.

Перечень подлежащих и	ісследованию,		ключающий анализ	закономерностеі	
проектированию и разработке вопросов (аналитический обзор по литературным источникам с целью выяснения достижений мировой науки техники в рассматриваемой области; постановка задачи исследования, проектирования; содержание процедуры исследования, проектирования, конструирования; обсуждение результатов выполненной работы; наименование дополнительных разделов, подлежащих разработке; заключение по работе). Перечень графического материала		пластической деформации и механических свойств титана пр различных видах нагружения, а также основные моменты рабо			
		различных видах нагружения, а также основные моменты радоп российских и зарубежных исследователей по влиянию ультразвуковог обработки на структуру и свойства различных материалов.			
		оораоотки на структуру и своиства различных материалов. 2. Постановка целей и задач исследования 3. Исследование морфологии поверхности, микроструктуры и механически свойств образцов ВТ1-0, подвергнутых ультразвуковой обработке. 4. Обсуждение результатов работы 5. Дополнительные разделы: «Финансовый менеджмени ресурсоэффективность и ресурсосбережение», «Социально ответственность». 6. Заключение (выводы) по работе			
(с точным указанием обязательных ч	ертежей)				
Консультанты по раздел (с указанием разделов)	там выпускной	і квалификационной ра	аботы		
Раздел		Консульт	ант		
Финансовый менеджмен ресурсоэффективность ресурсосбережение	u	рикова, старший препод		TY	
Социальная	Ю. М. Фе	дорчук, профессор, НИ	$T\Pi Y$		
ответственность					
Названия разделов, ко	торые должн	ы быть написаны на	п русском и	иностранном	
Результаты исследований					
Дата выдачи задания на	выполнение в	ыпускной			
квалификационной рабо		•			
Задание выдал руководі	итель:				
Должность	ФИО	Ученая степень,	Подпись	Дата	
		звание			
Зав. лаб. ФПЯ ИФПМ	Панин А. В.	Д. фм.н.,			
CO PAH		доцент			

задание принял			
Группа	ФИО	Подпись	Дата
4БМ4А	Хайруллин Рустам Равильевич		

РЕФЕРАТ

Выпускная квалификационная работа <u>112</u> с., <u>16</u> рис., <u>16</u> табл., <u>76</u> источников, <u>1</u> прил.

Ключевые слова: <u>титан, ультразвуковая обработка, морфология</u> <u>поверхности, микроструктура, механические свойства</u>

Объектом исследования является (ются) <u>образцы технического титана</u> <u>ВТ1-0, подвергнутые ультразвуковой обработке</u>

Цель работы — <u>исследование влияния ультразвуковой обработки на морфологию поверхности, микроструктуру и механические свойства образцов технического титана BT1-0</u>

В процессе исследования проводились экспериментальные работы по изучению механизмов формирования поверхностной шероховатости в образцах технически чистого титана ВТ1-0, подвергнутых ультразвуковой обработке, а также влияния исходного структурного состояния образцов технического титана ВТ1-0 на изменение их микроструктуры и механических свойств в процессе ультразвуковой обработки.

В результате исследования установлено, что пластическое оттеснение материала ударником и его микровыступами сопровождается формированием навалов различной формы и размеров. Продемонстировано, что в зависимости от исходного структурного состояния образцов ВТ1-0 наблюдается различный эффект по увеличению плотности дислокаций и двойников с границами специального типа Σ7b и Σ11b в поверхностных зернах в процессе ультразвуковой обработки. Показана связь между изменением структурных параметров и величиной микротвердости поверхностного слоя образцов ВТ1-0, подвергнутых ультразвуковой обработке.

Степень внедрения: выполнен эксперимент

Область применения: <u>создание деталей и узлов авиакосмической отрасли, работающих в условиях знакопеременных нагрузок и подверженных усталостному разрушению</u>

Экономическая эффективность/значимость работы полученные результаты будут использованы для исследования влияния ультразвуковой обработки на повышение усталостной долговечности конструкционных материалов

В будущем планируется исследование влияния ультразвуковой обработки на усталостные свойства титановых сплавов

Определения, обозначения, сокращения, нормативные ссылки

В данной работе применены следующие термины с соответствующими определениями:

предел текучести: Механическое напряжение, при котором в материале начинает развиваться пластическая деформация.

предел прочности: Механическое напряжение, выше которого происходит разрушение материала.

микротвердость: Твердость отдельных участков микроструктуры материала.

область когерентного рассеяния: Определенная область материала, рассеивающая падающее излучение когерентно.

микроискажения: Нарушения в пространственном расположении атомов, возникающие в поликристаллическом материале в пределах одного зерна.

пластическая деформация: Деформация, остающаяся после снятия нагрузки. Связана с перемещением атомов внутри кристаллов на относительно большие расстояния. Вызывает остаточные изменения формы, структуры и свойств без макроскопических изменений сплошности материала.

дислокационное скольжение: Механизм пластической деформации, заключающийся в перемещении дислокации по плоскости скольжения под действием касательных напряжений.

дислокации: Дефекты кристаллического строения, представляющие собой линии, вдоль и вблизи которых нарушено характерное для кристалла правильное расположение атомных плоскостей.

двойникование: Механизм пластической деформации, заключающийся в формировании двойников.

двойник: Дефект кристаллического строения, который может быть получен зеркальным отображением двух частей кристаллической решетки относительно заданной плоскости трансляции (плоскости двойникования).

границы зерен: Дефект кристаллической структуры, представляющий собой поверхность раздела двух зерен (кристаллитов) в поликристаллическом материале.

малоугловые границы: Границы с углом разориентации между двумя зернами менее 15°.

большеугловые границы: Границы с углом разориентации между двумя зернами более 15°.

границы специального типа: Большеугловые границы с меньшей энергией и с высокой плотностью совпадающих узлов; границы, в которых часть атомов соседних зерен занимает позиции, общие для решеток обоих зерен.

Оглавление

	Введение	11		
1	Обзор литературы	14		
	1.1 Закономерности пластической деформации и	14		
	механические свойства титана при различных видах			
	нагружения	18		
	1.2 Влияние ультразвуковой обработки на структуру и свойства материалов			
	1.2.1 Влияние ультразвуковой обработки на	18		
	морфологию поверхности и микроструктуру			
	1.2.2 Влияние ультразвуковой обработки на прочность	20		
	и пластичность			
	1.2.3 Влияние ультразвуковой обработки на	24		
	усталостные свойства			
	1.2.4 Влияние ультразвуковой обработки на	27		
	трибологические свойства			
	1.2.5 Влияние ультразвуковой обработки на	28		
	коррозионную стойкость	20		
	1.3 Постановка задач	29		
2	Объект и методы исследования	32		
3	Результаты исследований	35		
	3.1 Влияние ультразвуковой обработки на морфологию	35		
	поверхности образцов ВТ1-0	2.5		
	3.2 Влияние исходного структурного состояния образцов	36		
	BT1-0 на изменение микроструктуры их поверхностного слоя в процессе ультразвуковой обработки			
	3.3 Механические свойства образцов BT1-0, подвергнутых	41		
	ультразвуковой обработке	71		
	3.4 Обсуждение результатов	43		
	Задание для раздела «Финансовый менеджмент, ресурсоэффективность и ресурсосбережение»	51		
4	Раздел «Финансовый менеджмент, ресурсоэффективность и	52		
	ресурсосбережение»			
	4.1 Потенциальные потребители результатов исследования	52		
	4.2 Разработка устава НИР	53		

	4.2.1 Цели и результаты проекта	53
	4.2.2 Организационная структура проекта	54
	4.2.3. Ограничения и допущения проекта	55
	4.3 Планирование и график НИР	56
	4.3.1 Иерархическая структура работы	56
	4.3.2 Календарный план проекта	57
	4.3.3 Сетевой график выполнения НИР	58
	4.4 Составление сметы затрат	60
	4.4.1 Затраты на амортизацию оборудования	60
	4.4.2 Затраты на основные и вспомогательные	61
	материалы	
	4.4.3 Затраты на заработную плату	62
	4.4.4 Отчисления на социальные нужды	63
	4.4.5 Затраты на электроэнергию	63
	4.4.6 Смета затрат на НИР	65
	Задание для раздела «Социальная ответственность»	67
5	Раздел «Социальная ответственность»	69
	5.1 Анализ выявленных вредных факторов проектируемой	69
	производственной среды	
	5.1.1 Метеоусловия	70
	5.1.2 Освещенность	71
	5.1.3 Электромагнитные поля	74
	5.1.4 Ультразвук	75
	5.2 Анализ выявленных опасных факторов проектируемой	77
	производственной среды	
	5.2.1 Факторы электрической природы	77
	5.2.2 Факторы пожарной и взрывной природы	80
	5.3 Охрана окружающей среды	82
	5.4 Защита в чрезвычайных ситуациях	82
	5.5 Правовые и организационные вопросы обеспечения	83
	безопасности	

Заключение	85
Список публикаций студента	87
Список использованных источников	90
Приложение А Раздел 3. Результаты исследований	99
DVD-диск. Пояснительная записка ВКР (файл «Хайруллин,	
ВКР» в формате doc) и презентация ВКР (файл «Хайруллин,	
ВКР» в формате pptx)	

Введение

Наличие прочности, коррозионной стойкости, высоких удельной биоинертности хладостойкости обусловливает И широкое применение титановых сплавов в качестве перспективных конструкционных материалов в авиационно-космической и химической промышленности, а также в медицине [1]. Для повышения механических и физико-химических свойств материалов, в т. ч. и титановых сплавов, активно используются методы поверхностного упрочнения (химико-термическая обработка, поверхностная закалка, обработка электронным пучком, ионная имплантация и др.), среди которых своей относительной простотой технической реализации и низкой себестоимостью выделяется ультразвуковая обработка (УЗО) [2]. В отличие от дробеструйной [3, 4], пескоструйной [5], SMAT [6,7] и других технологий упрочнения, основанных на пластической деформации поверхностных слоев, УЗО позволяет контролировать силу и плотность ударов, а, следовательно, более эффективно обрабатывать поверхность материалов. Кроме этого, ультразвуковая обработка характеризуется способностью обрабатывать труднодоступные локальные области и детали любой формы и размеров.

Хорошо известно, что воздействие индентора, колеблющегося с ультразвуковой частотой, позволяет В широких пределах дислокационную субструктуру материала, измельчать зерна и субзерна до и субмикронного диапазона, формировать размеров наносжимающие напряжения в поверхностном слое материала и, тем самым, существенно улучшать физические и механические свойства конструкционных материалов, такие как твердость, предел текучести, износостойкость, усталостная прочность и коррозионная стойкость [8]. Естественно ожидать, что чем выше мощность ультразвукового воздействия, тем более существенно измельчается структура поверхностного слоя металлов и сплавов, а, следовательно, достигаются более высокие физико-химические, механические и другие их свойства. В то же время, интенсивная пластическая деформация поверхностного слоя обрабатываемого материала сопровождается существенным огрублением его

поверхности [9]. Увеличение шероховатости поверхности, в свою очередь, может оказывать негативное влияние на усталостную прочность конструкционных материалов, приводить к ухудшению их свариваемости, увеличивать их сорбционную способность по отношению к водороду, что является актуальной проблемой для материалов, склонных к водородному охрупчиванию таких как титан, цирконий и др.

В работах [10, 11] показано влияние ультразвуковой обработки на морфологию поверхности материалов. Отмечается, что при воздействии ударника на поверхности обрабатываемого материала образуются полукруглые навалы, формируются микротреки и микроямки. Однако механизм огрубления поверхности, в том числе формировании навалов и микроямок остается неясным.

Необходимо отметить, что эффект по упрочнению от ультразвуковой обработки зависит как от параметров обработки, так и от исходного структурного состояния образцов. В работах [12,13], где в качестве материала для исследований авторами были взяты отожженный сплав Zr-1%Nb и закаленный сплав Zr-2.5%Nb, было показано, что в процессе ультразвуковой обработки у данных циркониевых сплавов наблюдается различная степень упрочнения. Более мягкий отожженный сплав Zr-1%Nb характеризуется большим приростом по твердости после ультразвуковой обработки, чем более твердый закаленный сплав Zr-2.5%Nb. Аналогичный эффект большего повышения прочностных характеристик у изначально более мягкого материала после его ультразвуковой обработки установлен в исследованиях с образцами из различных марок стали [14,15,16]. В указанных исследованиях в повышении свойств материала механических отмечается роль дислокационного скольжения, измельчения зерен или выделения вторичных упрочняющих фаз. Однако влияние среднего размера зерна, плотности дислокаций и других структурных параметров материала на закономерности изменения микроструктуры в процессе ультразвуковой обработки и связанного с этим повышения механической прочности к настоящему времени остается не ясным.

Целью данной работы является исследование влияния ультразвуковой обработки на морфологию поверхности, микроструктуру и механические свойства образцов технического титана BT1-0.

Основными задачами работы являются:

- 1. Исследование механизмов формирования поверхностной шероховатости в образцах технического титана ВТ1-0, подвергнутых ультразвуковой обработке.
- 2. Исследование влияния исходного структурного состояния образцов технического титана ВТ1-0 на изменение их микроструктуры и механических свойств в процессе ультразвуковой обработки.

1 Обзор литературы

1.1 Закономерности пластической деформации и механические свойства титана при различных видах нагружения

технически чистом титане имеется 4 системы скольжения: призматическая $\{10\bar{1}0\} < 1\bar{2}10 >$, базисная $\{0001\} < 1\bar{2}10 >$, пирамидальная $\{10\bar{1}1\} < 1\bar{2}10 >$ и пирамидальная $(\langle c+a \rangle)$ { $10\overline{1}1$ } $< 2\overline{1}\overline{1}\overline{3} >$. $(\langle a \rangle)$ Призматическая система скольжения является первичной, так как она характеризуется наименьшим критическим скалывающим напряжением. Кроме того, в титане также присутствуют четыре системы двойникования. Две $T1\{10\bar{1}2\} < \bar{1}011 >$ растяжения: системы двойникования разориентации между осью c исходной кристаллической решетки и осью cрешетки двойника 85° и Т2 $\{11\overline{2}1\} < \overline{1}\overline{1}26 > c$ углом разориентации 35°, а также две системы двойникования сжатия: $C1\{11\overline{2}2\}<11\overline{2}\overline{3}>$ с углом разориентации 65° и $C2\{10\overline{1}1\}<10\overline{1}\overline{2}> c$ углом разориентации 54°. В том случае, когда направление максимальных главных напряжений близко к направлению оси c в кристалле или к направлению < c + a >, фактор Шмида для систем двойникования высокий [17, 18].

В работе [19] отмечается, что с ростом скорости деформации и среднего размера зерна, а также с уменьшением температуры механизм пластической деформации материалов двойникованием является предпочтительным при монотонном нагружении.

В случае прокатки титана двойникование более выражено при низких степенях деформации. В зернах с высоким фактором Шмида внешнее напряжение, необходимое для двойникования, маленькое. Как следствие, в данных зернах образуются двойники. При дальнейшей деформации происходит измельчение зерен. В результате способность пластической деформации титана путем двойникования уменьшается, так как возрастает внешнее напряжение, необходимое для двойникования. Двойники, сформированные при низких степенях деформации, вызывают переориентацию соседних зерен и, тем самым, активируют системы скольжения, по которым движутся дислокации при

дальнейшей деформации. В результате, при высоких степенях деформации более выраженным в титане является дислокационное скольжение [20].

В работе [21] также показано, что при прокатке технически чистого титана на начальном этапе его пластическая деформация осуществляется преимущественно путем двойникования. При высоких степенях деформации уменьшается средний размер зерна титана. В результате, пластическая деформация продолжается путем скольжения дислокаций. При прокате формируются два типа двойников: растяжения и сжатия. Тип образующихся двойников соответствующие зависит OT ΤΟΓΟ, какие напряжения (растягивающие или сжимающие) направлены вдоль оси <0001> в ГПУ решетке титана. В процессе прокатки на материал действуют сжимающие напряжения в направлении перпендикулярном к прокату и растягивающие напряжения в направлении параллельном прокату. В данной работе исходная текстура ГПУ решетки титана направлена таким образом, что ось <0001> расположена перпендикулярно к направлению проката и, следовательно, к направлению действия растягивающих напряжений. В результате двойники образуются. Однако, ПО растяжения не отношению направлению перпендикулярному к направлению проката (к направлению действия сжимающих напряжений) ось <0001> ГПУ решетки титана расположена под углом 40°. Как следствие, присутствует компонента оси <0001>, направленная вдоль линии действия сжимающих напряжений. В результате формируются двойники сжатия (первичные двойники). После образования двойников сжатия кристалл в двойникованной части разворачивается таким образом, что ось <0001> оказывается направленной вдоль направления проката (линии действия растягивающих напряжений). В результате, образуются двойники растяжения (вторичные двойники).

Механизм двойникования характерен для металлов при высоких скоростях нагружения и низких температурах, однако в некоторых ГПУ металлах двойникование развивается при квазистатическом растяжении при комнатной температуре вследствие недостатка систем скольжения. В работе

[22] исследовано влияние скорости нагружения при растяжении и сжатии титановых образцов на долю возникающих в них двойников и средний размер зерна. Установлено, что с ростом скорости деформации увеличивается доля двойников в титановых образцах. Увеличение доли двойников способствует упрочнению образцов вследствие текстурному переориентации кристаллической решетки в зерне, а также упрочнению по механизму Холла-Петча за счет увеличения границ – барьеров для дислокационного скольжения. Кроме того, в работе [22] показано, что повышение скорости деформации в 10000 раз при растяжении титановых образцов приводит к увеличению предела прочности на 100-150 МПа при одновременном уменьшении пластичности на 4-5%. Повышение предела прочности и уменьшение пластичности с ростом скорости нагружения титановых образцов также наблюдалось в работах [23] и [24].

Bouvier с коллегами В [25] исследовали влияние направления нагружения при простом монотонном сдвиге и сдвиге Баушингера на механические свойства, долю двойников и средний размер зерна образцов технически чистого титана. Установлено, что в случае простого монотонного сдвига титановых образцов нагружение под 90° к направлению проката приводит к формированию большей доли двойников растяжения и сжатия, что обусловливает максимальную фрагментацию зерен высокий прочности. При сдвиге Баушингера аналогичные эффекты наблюдаются при нагружении под углом 45° к направлению проката.

В работе [26] также показано, что предел текучести технически чистого титана определяется направлением приложения нагрузки. Установлено, что растяжение образцов титана в направлении перпендикулярном прокату приводит к наибольшему пределу текучести. Кроме того, в данной работе показано, что при растяжении титановых образцов формируются двойники растяжения и сжатия. Однако при последующем сжатии наблюдается исчезновение двойников растяжения (detwinning).

В работе [27] продемонстрировано, что с ростом скорости нагружения в 100 раз предел текучести технически чистого титана увеличивается на 50 МПа. При этом предел текучести оказывается выше, а предел прочности и пластичность – меньше при нагружении под 90° к направлению проката. Повышение предела текучести при растяжении образцов в направлении перпендикулярном прокату связано с тем, что большая часть зерен в данном случае имеет высокий фактор Шмида для пирамидального скольжения, которое, свою очередь, характеризуется наибольшим критическим скалывающим напряжением. Кроме того, при нагружении под 90° к направлению проката в титановых образцах образуется большее количество двойников, причем в данном случае – двойников растяжения. При нагружении исследуемых образцах формируются направлении проката преимущественно двойники сжатия.

По результатам исследований работы [28] установлено, что при высокоскоростном сжатии технически чистого титана в последнем формируются двойники растяжения и сжатия. Общее количество двойников с ростом скорости нагружения возрастает, причем доля двойников сжатия увеличивается, а доля двойников растяжения незначительно уменьшается. При низких степенях деформации (0,11) наблюдается наибольшая доля двойников сжатия, однако с ростом степени деформации (до 0,22) возрастает доля двойников растяжения, а доля двойников сжатия, напротив, уменьшается. Двойники растяжения вызывают переориентацию зерен, тем самым стимулируя дислокационное скольжение.

Guo с коллегами в работе [29] исследовали взаимодействие дислокаций с границами зерен в технически чистом титане, наблюдаемое при одноосном растяжении на 1%. Авторами было установлено три типа взаимодействия дислокаций с границами зерен: торможение дислокации на границе зерна и возникновение концентрации напряжений в соседнем зерне; торможение дислокации на границе зерна без возникновения концентрации напряжений в соседнем зерне и переход дислокации через границу зерна. Тип взаимодействия

определяется геометрическим соответствием осей легкого скольжения в соседних зернах. Если ось легкого скольжения одного зерна совпадает с осью легкого скольжения соседнего зерна (лежит на одной прямой), то дислокация беспрепятственно пересекает границу зерна. В противном случае — она тормозится на границе зерна.

1.2 Влияние ультразвуковой обработки на структуру и свойства материалов

Для повышения механических И физико-химических свойств материалов, в т. ч. и титановых сплавов, активно используются методы поверхностного упрочнения (химико-термическая обработка, поверхностная закалка, обработка электронным пучком, ионная имплантация и др.), среди которых своей относительной простотой технической реализации и низкой себестоимостью выделяется ультразвуковая обработка (УЗО). В отличие от дробеструйной, пескоструйной, SMAT и других технологий упрочнения, основанных на пластической деформации поверхностных слоев, УЗО позволяет контролировать силу и плотность ударов, а, следовательно, более эффективно обрабатывать поверхность материалов. Кроме этого, ультразвуковая обработка характеризуется способностью обрабатывать труднодоступные локальные области и детали любой формы и размеров. В данном подразделе рассмотрены работы по влиянию ультразвуковой обработки на структуру и свойства различных материалов.

1.2.1 Влияние ультразвуковой обработки на морфологию поверхности и микроструктуру

В работах [10,11] показано влияние ультразвуковой обработки на морфологию поверхности материалов. Отмечается, что при воздействии ударника на поверхности обрабатываемого материала образуются полукруглые навалы, формируются микротреки и микроямки. С увеличением количества микроямок улучшаются трибологические харакетеристики материала (снижается коэффициент трения и повышается износостойкость) [30].

В работах [31,32,33] показано, что отожженные образцы технически чистого титана, подвергнутые родственным УЗО обработкам, деформируются главным образом посредством дислокационного скольжения. Двойникование в также присутствует, но только при малых степенях данном случае пластической деформации. Двойники взаимодействуют друг с другом и с обусловливая фрагментацию дислокациями, структуры И инициируя дислокационное скольжение в новых плоскостях.

В ряде работ [34,35,36,37] показано, что при УЗО достигается 30-50 нанокристаллический слой толщину. Формирование МКМ нанокристаллического слоя зависит как от физико-химических свойств материала, так и от параметров УЗО [38]. Мордюк и Прокопенко [39] изучали микроструктуру различных металлов и сплавов, подвергнутых УЗО, и установили факт измельчения зерна в поверхностном слое исследуемых образцов. Данный слой фрагментированного и более твердого материала повышает его устойчивость к коррозии и износу [40]. Как показали ПЭМисследования, средний размер зерен в поверхностном слое образцов, подвергнутых УЗО, составляет 10-100 нм в нержавеющей аустенитной стали AISI 321, до 10 нм в технически чистом титане BT1-0 и 20-100 нм в $\alpha + \beta$ титановом сплаве ВТ6.

Закономерности изменения микроструктуры материалов, в том числе и титановых сплавов, при ультразвуковой обработке подробно изучены в работах [12,41]. Убедительно показано, что фрагментация зеренной структуры в процессе УЗО происходит, главным образом, за счет скольжения и/или двойникования. Первоначально образуются единичные дислокации и двойники; далее (с ростом степени деформации) формируются дислокационные стенки (ячейки), которые при дальнейшем увеличении деформации преобразуются в микрополосы с малоугловой разориентировкой. Наконец, при больших степенях деформации микрополосы разбиваются на нанозерна с большеугловой разориентировкой. При этом толщина нанокристаллического поверхностного слоя в конструкционных материалах может достигать 200 мкм [42].

Кроме того, существуют исследования, связанные с изучением влияния исходного структурного состояния материалов на эффект последующей ультразвуковой обработки. Во многих работах продемонстировано, что ультразвуковая обработка изначально более мягкого материала приводит к большему приросту прочностных характеристик. В работах [12,13], где в качестве материала для исследований авторами были взяты отожженный сплав Zr-1%Nb и закаленный сплав Zr-2.5%Nb, было показано, что в процессе ультразвуковой обработки у данных циркониевых сплавов наблюдается различная степень упрочнения. Более мягкий отожженный сплав Zr-1%Nb характеризуется большим приростом по твердости после ультразвуковой обработки, чем более твердый закаленный сплав Zr-2.5%Nb. Аналогичный эффект большего повышения прочностных характеристик у изначально более мягкого материала после его ультразвуковой обработки установлен в исследованиях с образцами из различных марок стали [14,15,16]. В частности, в работе [14] показано, что более существенный прирост пределов текучести и прочности при растяжении наблюдается в образцах из стали ЭК-181, подвергнутых ультразвуковой обработке и предварительной термической обработке, заключающейся в закалке И старении. В свою очередь, ультразвуковая обработка закаленных образцов практически не приводит к повышению прочностных характеристик. В [15] также установлено, что более мягкие отожжённые образцы армко железа в результате последующей ультразвуковой обработки характеризуются наибольшим увеличением прочности. И, наконец, в работе [16] показано, что наибольшее увеличение усталостной долговечности в результате ультразвуковой обработки образцов из стали S45C наблюдается при меньшем времени предварительного азотирования. В указанных исследованиях в повышении механических свойств материала отмечается роль дислокационного скольжения, измельчения зерен или выделения вторичных упрочняющих фаз.

1.2.2 Влияние ультразвуковой обработки на прочность и пластичность

В работе [8] исследовано влияние поверхностной ультразвуковой обработки на величину остаточных напряжений, изменения микроструктуры и механические свойства аустенитной стали 304. Ультразвуковая обработка формированию нанокристаллического привела поверхностного мартенситному превращению, К образованию высоких сжимающих напряжений (-1400 МПа) и к росту твердости (в 3,5 раз по сравнению с объемным материалом). На глубине 100 мкм от поверхности образовались двойники деформации, которые значительно повышают возможность упрочнения материала, являясь одновременно препятствием для движения дислокаций и источником их генерации. После ультразвуковой обработки в поверхностном слое материала образовалась многослойная микроструктура с двумя упрочненными слоями по краям (с мартенситной фазой) и пластичным внутренним котором постепенно меняется объемная слоем, В мартенситной фазы. Такая микроструктура приводит к одновременному росту и прочности и пластичности материала.

Согласно работе [38] на пластине из стали 35 в результате ультразвуковой ударной обработки был сформирован наноструктурный поверхностный слой со средним размером зерна около 10 нм. Толщина пластически деформированного слоя варьируется от нескольких до 100 мкм в зависимости от длительности ультразвуковой обработки. Кроме того, после ультразвуковой ударной обработки значительно увеличилась микротвердость поверхности образцов. При этом с повышением длительности ультразвуковой обработки микротвердость возрастает.

В работе [41] рассматривается проблема одновременного повышения пластичности и прочности титанового сплава Ti-6Al-4V. Предложено решение данной проблемы путем проведения комплексной высокоэнергетической электропульсирующей и ультразвуковой ударной обработок. Предварительная высокоэнергетическая электропульсирующая обработка в 5,5 раз повышает пластичность титанового сплава (при этом прочность практически не снижается). В то время как последующая ультразвуковая ударная обработка

материала более чем в 2 раза увеличивает его микротвердость. Рост пластичности при электропульсирующей обработке объясняется интенсивной диффузией атомов в процессе рекристаллизации. В свою очередь, пластическая деформация поверхностного слоя и фазовые изменения в процессе ультразвуковой ударной обработки приводят к упрочнению поверхности.

Согласно работе [43] ультразвуковая обработка титана ВТ 1-0 позволяет сформировать мелкозернистую структуру поверхности с размером зерна до 2,4 мкм, увеличить значения поверхностной микротвердости до 6000 МПа (исходная микротвердость составляла 2250 МПа) и уменьшить шероховатость до Ra=0,37 мкм (исходная шероховатость Ra=0,53 мкм).

В работе [44] исследованы закономерности пластической деформации поверхностного слоя титановых сплавов при ультразвуковой поверхностной обработке. Определены оптимальные параметры шероховатости поверхности перед ультразвуковой поверхностной обработкой, позволяющие формировать в полноценную нанокристаллическую В поверхностном слое результате проведенных исследований показано, что ультразвуковая обработка титана марки BT1-0 приводит к модифицированию поверхностного слоя с формированием субзеренной структуры и повышением поверхностной твердости до 4000 МПа. Степень дисперсности структуры и повышение поверхностной твердости существенно зависит от параметров шероховатости предварительной обработки. C увеличением шероховатости величина твердости возрастает, а средний размер элементов субзеренной структуры уменьшается.

В работе [45] по родственной ультразвуковой обработке технологии SMAT в технически чистом титане был сформирован поверхностный слой с различной структурой по глубине. Верхний слой толщиной 30 мкм – сочетание аморфной и нанокристаллической структуры со средним размером зерна менее 30нм. Далее на глубине от 30 до 90 мкм идет нанокристаллический слой, характеризующийся хаотично ориентированными нанозернами со средним размером 40нм. И, наконец, внутренняя часть титановых образцов имела

ультрамелкозернистую структуру равноосных зерен с размером зерна в пределах от 50 до 250нм. Установлено, что данная многослойная структура титана приводит к росту его пределов текучести и прочности при квазистатическом сжатии. Кроме того, показано, что каждый слой титановых образцов характеризуется своим механизмом деформации при сжатии. Так, в деформации образцов процессе сжатием В верхнем слое титановых формируются полосы увеличивается сдвига, a также количество нанокристаллитов. В свою очередь в нанокристаллическом слое титановых образцов при сжатии наблюдается рост зерна от 40нм в исходном состоянии до 70нм при 10% деформации и до 100нм при 30% деформации. Рост зерна объясняется активностью границ зерен, которые сдвигаются под действием напряжений [46]. Сдвиг границ зерен, в свою очередь, связан с образованием и эволюцией клиновых дисклинаций и ротационных дефектов. Данное vвеличение зерна при деформации способствует росту пластичности нанокристаллического слоя. И, наконец, в ультрамелкозернистом слое титановых образцов при их сжатии на 30% происходит локализация пластической деформации в виде вытянутых зерен, характеризующихся высокой плотностью дислокаций.

В работе [47] также исследовались механические свойства технически чистого титана, подвергнутого предварительной SMAT-обработке. Показано, что в результате SMAT-обработки в поверхностном слое титановых образцов был сформирован наноструктурированный слой толщиной 15мкм со средним размером зерна около 30 нм. Данный слой за счет маленького размера зерна и высокой плотности дислокаций характеризуется в два раза более высокой прочностью по сравнению с необработанным крупнозернистым титаном, однако в то же время имеет очень низкую пластичность (менее 2%). В свою очередь, титановые образцы, обработанные ПО SMAT-технологии, характеризуются неоднородной структурой поверхностного слоя ОТ наноструктуры на поверхности до ультрамелкозернистой структуры в объеме. Такая градиентная структура приводит к тому, что пределы текучести и

прочности при растяжении становятся больше, чем у крупнозернистого необработанного титана на 100 МПа. При этом сохраняется высокая пластичность за счет объемного слоя, в котором происходит деформационное упрочнение за счет активности дислокаций. Дислокации обеспечивают деформационный ресурс материала, предотвращая локализацию деформации и преждевременное разрушение.

1.2.3Влияние ультразвуковой обработки на усталостные свойства

В работе [48] наблюдалось повышение усталостной долговечности высоко нагруженных спиц литых алюминиевых колес на 21% после ультразвуковой ударной обработки. Рост усталостной долговечности произошел за счет того, что после обработки на поверхности образцов образовались сжимающие напряжения, и увеличилась твердость. Повышение усталостной долговечности позволяет уменьшить толщину спиц, тем самым облегчив конструкцию.

В работе [9] поверхностная ультразвуковая обработка была применена для улучшения усталостной прочности нержавеющей стали марки SUS304 (08X18H10). В результате такой обработки в поверхностном слое уменьшился до нескольких нанометров размер зерна, и произошло мартенситное превращение, что в совокупности привело к существенному увеличению твердости. Данное увеличение поверхностной твердости способствовало повышению усталостной прочности стали. Кроме того, повышение статической нагрузки во время ультразвуковой обработки привело к росту шероховатости поверхности и величины сжимающих напряжений в исследуемых образцах. Также была выбрана оптимальная нагрузка при ультразвуковой обработке (90H), при которой повышение усталостной долговечности стали наибольшее (на 80 %).

В работе [10] поверхностная ультразвуковая обработка проводилась с целью улучшения поверхностных свойств закаленной и отпущенной стали 45 посредством образования наноструктурированного поверхностного слоя. Варьировались следующие параметры обработки: статическая нагрузка (50, 60

и 70 Н) и плотность обработки (34000 мм⁻² и 68000 мм⁻²). Были проанализированы микроструктура, микротвердость и остаточные напряжения в материале. Проведены усталостные испытания на знакопеременный изгиб (вращение образца под нагрузкой). С увеличением числа ударов наблюдается повышение глубины мелкозернистого слоя, а также рост величины сжимающих остаточных напряжений в поверхностном слое материала. При этом предел выносливости увеличивается с 464 Мпа до 550 Мпа. Кроме того, была подобрана максимальная статическая нагрузка ультразвукового воздействия (50 Н), при превышении которой материал разрушается за счет образования приповерхностных трещин.

В работе [49] исследовано влияние повторной ультразвуковой обработки на усталостные свойства сварных швов из стали S690QL (улучшенный европейский аналог марок 16ХГМФТР и 25ХГСР). Установлено, что повторная ультразвуковая обработка с одной стороны может повысить усталостную долговечность стали путем закрытия образовавшихся трещин, однако, с другой стороны способствует дальнейшему разрушению материала из-за воздействия индентора.

В работе [50] для исследования сопротивления усталости стали 08X18H10, подвергнутой ультразвуковой ударной обработке, использовалась модель Наварро-Риоса. Для воссоздания остаточных напряжений и вмятин на поверхности при различных входных параметрах применяли метод конечных элементов. Показано, что с ростом скорости ультразвуковой обработки и с увеличением площади обработанной поверхности по отношению к продеформированной области возрастают величина и глубина остаточных сжимающих напряжений в материале. Данное обстоятельство уменьшает распространение трещин в материале, т. е способствует повышению его усталостной долговечности.

В работе [16] исследовано влияние ультразвуковой обработки на усталостную прочность азотированной стали S45C в зависимости от времени азотирования и от плотности ультразвуковой обработки. Установлено, что

ультразвуковая обработка азотированной стали приводит к уменьшению шероховатости поверхности и размера зерна, а также к увеличению микротвердости и величины сжимающих напряжений. С увеличением ультразвуковой обработки плотности величина микротвердости поверхности возрастают, шероховатости a сжимающие напряжения уменьшаются. Ультразвуковая обработка также способствует пластической деформации поверхностного слоя материала. При этом более толстый пластически деформированный поверхностный слой после ультразвуковой обработки получен при меньшем времени предварительного азотирования.

В работе [51] изучено влияние ударной ультразвуковой обработки на характер растрескивания прокородировавших алюминиевых сплавов испытаниях на усталостную долговечность. В частности показано, ультразвуковая обработка позволяет существенно повысить усталостную долговечность материала за счет изменения механизма растрескивания. При этом изменение механизма растрескивания определяется уровнем коррозии материала. Так, ультразвуковая обработка слабо прокородировавших образцов позволила изменить механизм формирования трещин с межкристаллитного на механизм истирания, что способствовало существенному росту усталостной В долговечности. свою очередь, ультразвуковая обработка сильно прокородировавших образцов не меняет механизма растрескивания, что приводит лишь к незначительному повышению усталостной долговечности.

В работе [52] исследовано влияние ультразвуковой поверхностной обработки на приповерхностную микроструктуру, остаточных уровень напряжений и усталостную прочность аустенитной стали AISI 304 (08X18H10). Показано, результаты ультразвуковой поверхностной обработки что результатами других методов механической обработки сопоставимы \mathbf{c} поверхности: глубокой прокатки и дробеструйной обработки. Во-первых, в поверхностном слое материала возрастает величина сжимающих напряжений, и наблюдается эффект деформационного упрочнения. При глубина ЭТОМ деформационного упрочнения определяется характерными не только

особенностями метода поверхностной обработки, но и параметрами процесса обработки. Во-вторых, в результате поверхностной обработки происходит фазовое превращение аустенита в мартенсит.

В работе [53] исследовано влияние поверхностной ультразвуковой обработки на усталостные свойства стали S45C. Варьировалось число ударов на единицу площади (34000, 45000 и 68000 ударов/мм²). В ходе исследований выявлено, что с ростом числа ударов на единицу площади увеличиваются глубина нанокристаллического слоя (от 2 мкм при 34000 ударов/мм² до 30 мкм при 68000 ударов/мм²), микротвердость поверхности (в 2 раза по сравнению с объемом материала при 68000 ударов/мм²), величина сжимающих напряжений, а также уменьшается шероховатость поверхности. Кроме того, с ростом числа ударов на единицу площади возрастает усталостная прочность материала (более, чем на 33% при 68000 ударов/мм² по сравнению с необработанной сталью). Установлено, что нанокристаллический поверхностный слой, сформированный в процессе ультразвуковой обработки, замедляет образование усталостных трещин.

1.2.4 Влияние ультразвуковой обработки на трибологические свойства

В работе [42] исследуется влияние поверхностной ультразвуковой обработки на механические и трибологические свойства спеченного медного Установлено, образцы после обработки сплава. что характеризуются повышенными механическими свойствами, более высокой износостойкостью и пониженным значениями коэффициента трения сравнению ПО необработанными образцами. Повышение механических свойств ультразвуковой обработки связано образованием наноструктурного поверхностного слоя толщиной около 200 мкм и измельчением зерен. Улучшение трибологических свойств (снижение коэффициента трения и изностостойкости) объясняются увеличение увеличением твердости, снижением шероховатости поверхности и пористости образцов, а также формированием волнистой поверхностной структуры.

[54] поверхностной работе ультразвуковой обработке были подвергнуты образцы из магниевого сплава AZ91D. В результате обработки удалось сформировать в приповерхностном слое образцов толщиной 100мкм нанокристаллическую структуру со средним размером зерна 40-60 нм. Кроме того, после ультразвуковой обработки твердость образцов постепенно увеличивается от 230 HV (на расстоянии 100мкм от поверхности) до 295 HV (на поверхности образцов). Установлено, что ультразвуковая обработка приводит к снижению коэффициента трения и скорости износа образцов на 23 и 30% соответственно по сравнению с необработанными образцами. При этом данное снижение возрастает с ростом нагрузки ультразвуковой обработки.

В работе [55] исследовано влияние поверхностной ультразвуковой обработки на структуру, механические и трибологические свойства образцов из карбида кремния SiC. Установлено, что ультразвуковая обработка способствует улучшению трибологических свойств (более низкий коэффициент трения и более высокая износостойкость), уменьшению пористости, снижению шероховатости поверхности, а также увеличению поверхностной твердости и трещиностойкости образцов.

Аналогичный эффект улучшения трибологических свойств материалов после их поверхностной ультразвуковой обработки установлен в исследованиях с нержавеющей сталью AISI 304 [56], а также титановыми сплавами BT1-0 и BT6 [57,58].

1.2.5 Влияние ультразвуковой обработки на коррозионную стойкость

В работах [12,13] поверхностная ультразвуковая обработка циркониевых сплавов привела к формированию ультрамелкозернистого поверхностного слоя (в верхнем слое толщиной 10мкм средний размер зерна уменьшился до 100нм после ультразвуковой обработки в течение 4мин) и ярко выраженной текстуры с высокой долей границ специального типа, а также к уменьшению шероховатости поверхности и к росту величины сжимающих напряжений. Установлено, что одновременно с уменьшением размера зерна снижается

плотность дислокаций (вследствие процессов динамической рекристаллизации). Показано, ЧТО 3a счет формирования сжимающих напряжений и ярко выраженной текстуры с низкоэнергетическими границами специального типа в поверхностном слое, а также уменьшения шероховатости поверхности в процессе ультразвуковой обработки материала происходит коррозионной стойкости. Кроме формирование увеличение его τογο, ультрамелкозернистой структуры В поверхностном слое образцов Zr, ультразвуковой обработке, подвергнутых способствует более окислению и образованию защитной пассивирующей пленки из ZrO₂ которая дополнительно улучшает коррозионную стойкость. Аналогичный эффект повышения коррозионной стойкости наблюдался этими же авторами при ультразвуковой обработке нержавеющей стали AISI-321 [34] и сплава Co-Cr-Mo [59].

Границы зерен первыми подвержены коррозии, так как они имеют высокий уровень энергии и химически активны. В процессе ультразвуковой обработки сварных соединений в зоне сварного шва за счет высоких сжимающих напряжений образуется деформированный слой плотно сжатого материала, который является устойчивым против химически активных растворов [60]. В соответствии с этим обстоятельством, взаимодействие между границами зерен и коррозионной средой будет минимальным. В работе [61] установлено, что ультразвуковая обработка сварных соединений из стали St-304 приводит к существенному улучшению их коррозионной стойкости.

1.3 Постановка задач

Проведенный обзор литературы показал, что механизмы пластической деформации технически чистого титана при различных видах механического нагружения достаточно хорошо изучены и описаны. В титане имеется четыре системы скольжения: призматическая, базисная и две пирамидальных (<*a*> и <*c*+*a*>), а также четыре системы двойникования: две системы двойникования растяжения (T1 и T2) и две – сжатия (C1 и C2).

Bo исследуется влияние поверхностной всем мире широко ультразвуковой обработки на структуру и свойства различных материалов. Это говорит TOM, что данные исследования являются актуальными. Действительно, многими исследователями установлено положительное влияние ультразвуковой поверхностной обработки на механические свойства материалов (увеличение усталостной долговечности, износостойкости, предела прочности, твердости). При этом благодаря своей технической простоте себестоимость метода ультразвуковой обработки значительно ниже других обработка. упрочнения методов поверхностного (химико-термическая нанесение защитных покрытий, обработка электронным пучком, ионная имплантация).

В работах показано влияние ультразвуковой обработки на морфологию поверхности материалов. Отмечается, что при воздействии ударника на поверхности обрабатываемого материала образуются полукруглые навалы, формируются микротреки и микроямки. Однако механизм огрубления поверхности, в том числе формировании навалов и микроямок, остается неясным. Кроме того, на сегодняшний день известно, что в процессе ультразвуковой обработки происходит фрагментация зеренной структуры вплоть до образования наноструктуры, главным образом, за счет скольжения и/или двойникования. При нанокристаллического ЭТОМ толщина поверхностного слоя в конструкционных материалах может достигать 200 мкм. Подробно описано влияние ультразвуковой обработки на шероховатость поверхности, структуру и механические свойства материалов в зависимости от параметров процесса обработки (длительности, нагрузки, числа ударов на единицу площади и др.). Однако влияние среднего размера зерна, плотности дислокаций и других структурных параметров материала на закономерности изменения его микроструктуры в процессе ультразвуковой обработки и связанного с этим повышения механической прочности к настоящему времени остается не ясным. Целью данной работы является исследование влияния

ультразвуковой обработки на морфологию поверхности, микроструктуру и механические свойства образцов технического титана ВТ1-0.

Основными задачами работы являются:

- 1. Исследование механизмов формирования поверхностной шероховатости в образцах технического титана ВТ1-0, подвергнутых ультразвуковой обработке.
- 2. Исследование влияния исходного структурного состояния образцов технического титана ВТ1-0 на изменение их микроструктуры и механических свойств в процессе ультразвуковой обработки.

2 Объект и методы исследования

В качестве материала для исследований были выбраны пластины из технически чистого титана марки ВТ1-0 (0.2 % Al, 0.4 % Zr, 0.3 % Mn, 0.01 % Cr, 0.06 % Si, 0.2 % Fe, 0.02 % Cu и 98.8 % Ti). Размеры пластин: 100 мм×100 мм×1 мм. Было исследовано две партии пластин. Первая партия пластин ВТ1-0 находилась в состоянии поставки (холодная прокатка на 5%, затем отжиг при 650 °C в течение 1ч). Вторая партия пластин ВТ1-0 была подвергнута рекристаллизационному отжигу в вакууме при температуре 750 °C в течение 1 часа. Средний размер зерна титановых пластин, находящихся в состоянии поставки составлял 40 мкм, а рекристаллизованных пластин — 100 мкм (рисунок 1).

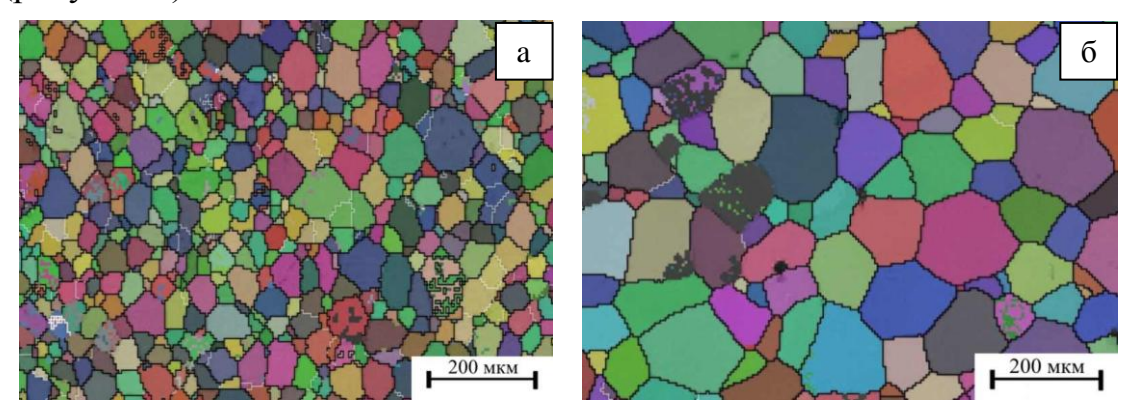


Рисунок 1 — EBSD — карты микроструктуры поверхности технически чистого титана BT1-0 в состоянии поставки (а) и после рекристаллизационного отжига (б)

Ультразвуковую обработку титановых пластин проводили инструментом, представляющим собой колебательную систему, состоящую из магнитострикционного преобразователя ультразвукового волноводаконцентратора, к торцу которого присоединен сферический ударник из твердого сплава марки ВК8 (рисунок 2). В процессе ультразвуковой обработки ударник прижимается к обрабатываемой поверхности титановых пластин с силой 200 Н, совершая колебания с частотой ~22 кГц и амплитудой ~40 мкм. Диаметр ударника и скорость его движения вдоль пластин составляли 10 мм и 0,015 м/с, соответственно.

Волновод-концентратор

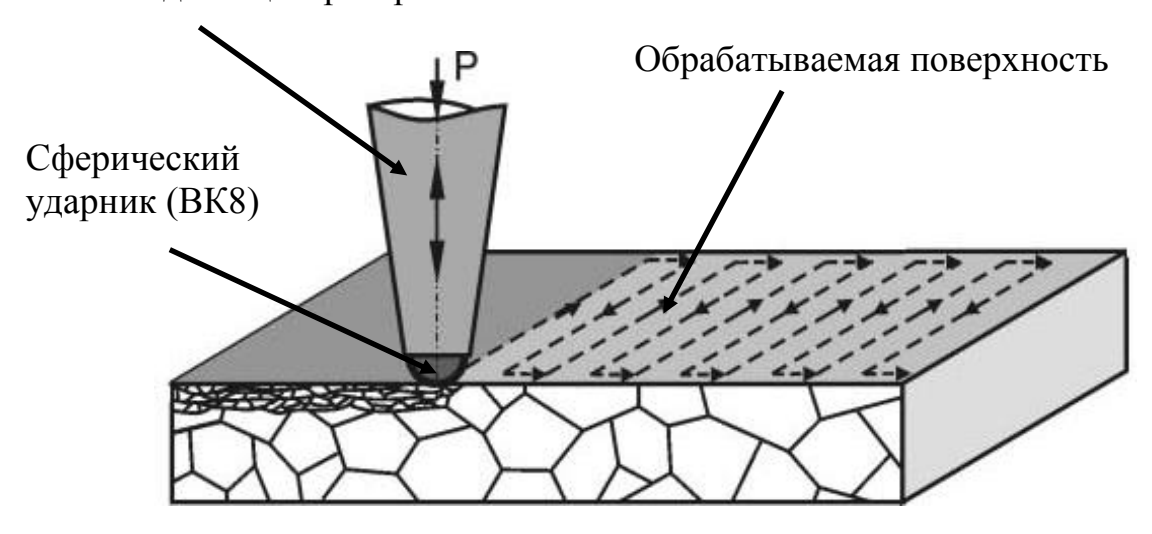


Рисунок 2 — Схема поверхностной обработки плоских заготовок из технического титана ВТ 1-0 ударником, колеблющемся с ультразвуковой частотой

Для исследований морфологии поверхности и микроструктуры титановые пластины были разрезаны путем электроискровой резки на образцы размерами 10 мм×10 мм×1 мм. Часть образцов была механически сполирована, другие образцы были исследованы сразу после ультразвуковой обработки.

Морфологию поверхности образцов из титана BT1-0 исследовали с помощью атомно-силового микроскопа (ACM) Solver HV и оптического профилометра Zygo New View 6200. Микроструктуру образцов титана BT1-0 исследовали с помощью оптического микроскопа Zeiss Axiovert 40 MAT и сканирующего электронного микроскопа LEO EVO 50 с системой регистрации дифракции обратно рассеянных электронов (EBSD) Oxford Instruments CHANNEL5. Поверхность и боковая грань образцов шлифовались абразивных шкурках, затем полировались алмазной пастой и подвергались химическому травлению раствором плавиковой и азотной кислот (2% HF и 2% HNO₃). Для исследований на сканирующем электронном микроскопе образцы BT1-0 дополнительно подвергались электрохимической полировке. Рентгеноструктурные исследования образцов выполняли на дифрактометре ДРОН-7 с использованием CoK_{α} -излучения. Дефектную субструктуру

исследуемых образцов определяли методами дифракционной электронной микроскопии тонких фольг на просвечивающем электронном микроскопе JEM-2100. Фольги изготавливались из пластин путем механического шлифования до толщины 0.2 мм, а затем электрополировкой в растворе утоняли до 200 нм.

Измерения микротвердости H_{μ} исследуемых образцов выполняли на микротвердомере "ПМТ-3" с нагрузкой 50 г. Одноосное квазистатическое растяжение образцов со скоростью 0,3 мм/с проводилось на универсальной испытательной машине «Instron 5582». Для проведения испытаний на растяжение титановые пластины были разрезаны путем электроискровой резки на образцы стандартных размеров (рисунок 3).

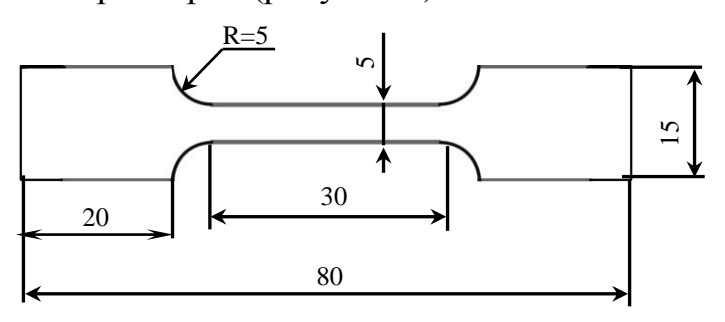


Рисунок 3 — Чертеж образца из технически чистого титана марки ВТ 1-0 для испытаний на одноосное растяжение

ЗАДАНИЕ ДЛЯ РАЗДЕЛА «ФИНАНСОВЫЙ МЕНЕДЖМЕНТ, РЕСУРСОЭФФЕКТИВНОСТЬ И РЕСУРСОСБЕРЕЖЕНИЕ»

\sim			
(TX	пеι	итч	7'
\sim 1 $^{\circ}$	ДО	111	ν.

Группа	ФИО	
4БМ4А	Хайруллин Рустам Равильевич	

Институт	ИФВТ	Кафедра	MMC	
Уровень образования	магистр	Направление/специальность	Материаловедение	И
	Г		технологии материалов	

исходные данные к разделу «Финансовыи менеджмент, ресурсоэффективность и					
ресурсосбережение»:	D				
1. Стоимость ресурсов науч				ставленной в	
материально-технических	-	российских и ин	остранных научны	іх публикациях,	
финансовых, информацион		<i>— аналитических</i>	материалах, сп	патистических	
2. Нормы и нормативы расхо		бюллетенях и	бюллетенях и изданиях, нормативно-прас		
3. Используемая система нал		документах			
налогов, отчислений, диск	онтирования и кредитования	итования			
Перечень вопросов, под	длежащих исследовани	ю, проектирова	нию и разработ	ке:	
1. Оценка коммерческого и и НТИ	нновационного потенциала	Потенциальные исследования	потребители	результатов	
2. Разработка устава научно	о-технического проекта	1. Цели и резул	ьтаты проекта		
		2. Организацио	онная структура пр	ооекта	
		3. Ограничения	н и допущения проег	кта	
			кая структура рабо	om	
			й план проекта		
		6. Сетевой гра	фик проекта		
3. Планирование и формиров	вание бюджета научных		10 – технического	о исследования	
исследований		(НТИ)			
			имортизацию обору		
		2. Затраты н	а основные и вст	помогательные	
		материалы			
			ваработную плату		
		4. Отчисления н			
		5. Затраты на з			
		6. Прочие накла			
	ой, финансовой, экономическ	ой Расчет фактич	Расчет фактической рентабельности проекта		
эффективности					
Перечень графического материала (с точным указанием обязательных чертежей):					
1. Потенциальные потребители результатов исследования					
2. Иерархическая структура работ					
3. Календарный план проведения исследования					
4. Сетевой график проведения исследования					
5. Бюджет проекта					
Дата выдачи задания для раздела по линейному графику					
Задание выдал консультант:					
Должность	ФИО	Ученая степень, звание	Подпись	Дата	
Старший	Гаврикова Н.А.				
преподаватель	•				

Задание принял к исполнению студент:

Хайруллин Рустам Равильевич

Группа

4БМ4А

Дата

Подпись

4 Раздел «Финансовый менеджмент, ресурсоэффективность и ресурсосбережение»

4.1 Потенциальные потребители результатов исследования

В таблице 2 представлены основные потребители результатов исследований в зависимости от их вида.

Таблица 2 – Классификация потребителей результатов НИР

Вид исследований	Потребители	Цели приобретения
Фундаментальные и поисковые исследования	Государство, общество	Развитие науки, общественный прогресс, пополнение существующей базы знаний, создание заделов для прикладных исследований
Прикладные исследования	Государство, региональные структуры	Удовлетворение общественных нужд (оборона, образование, экология и т.п.), поддержание престижа и авторитета на международном уровне
	Корпорации, промышленные предприятия, фирмы	Разработка новых продуктов, повышение конкурентоспособности, максимизация прибыли
Разработки	Государство, региональные структуры	Обеспечение общественных нужд, поддержание национальных интересов
		Производство новых продуктов, повышение конкурентоспособности, получение экономического эффекта

Поскольку данная работа относится к фундаментальным, то потребителями являются государство и общество.

4.2 Разработка устава НИР

4.2.1 Цели и результаты проекта

Таблица 3 – Заинтересованные стороны проекта

Заинтересованные стороны	Ожидания заинтересованных
проекта	сторон
Российский научный фонд (РНФ)	Выполнение условий договора по
	НИР, получение отчета по НИР
ИФПМ СО РАН	Отчисления в бюджет организации
	из средств РНФ. Публикации,
	аффилированные с ИФПМ СО РАН
Сотрудники лаборатории Физики	Оплачиваемая работа по НИР.
поверхностных явлений ИФПМ СО	Публикации.
PAH	
Дипломник	Оплачиваемая работа по НИР,
	Возможность написать и защитить
	магистерскую диссертацию.
	Публикации.
ТПУ	Публикации, аффилированные с
	ТПУ. Защита магистерской
	диссертации.

Таблица 4 – Цели и результат проекта

Цели проекта:	Исследовать влияние ультразвуковой обработки на микроструктуру и механические свойства технического титана ВТ1-0 в срок с сентября 2014 г по июнь 2016 г. Защитить магистерскую диссертацию в ТПУ 24.06.2016 г.			
Ожидаемые результаты проекта:	Магистерская диссертация			
Критерии приемки результата проекта:	Публикации результатов работы в индексируемых отечественных и зарубежных журналах. Участие в конференциях.			
Требования к	Требование:			
результату проекта:	Успешная защита магистерской диссертации в ТПУ			

4.2.2 Организационная структура проекта

Таблица 5- Рабочая группа проекта

№	ФИО,	Роль в проекте	Функции	Трудо-
п/п	основное место	-	-	затраты,
	работы,			час.
	должность			
1	Панин Алексей	Руководитель	Отвечает за	312
	Викторович,		реализацию проекта,	
	ИФПМ СО РАН,		координирует	
	зав. лаб.		деятельность	
			участников проекта.	
2	Козельская Анна	Ответственный	Выполняет работы по	208
	Ивановна,	исполнитель	проекту. Проводит	
	ИФПМ СО РАН,		исследования, пишет	
	мнс.		статьи.	
3	Хайруллин	Ответственный	Выполняет работы по	1160
	Рустам	исполнитель	проекту. Проводит	
	Равильевич,		исследования, пишет	
	ТПУ, магистрант		статьи и	
			магистерскую	
			диссертацию.	
4	РНΦ	Заказчик	Осуществляет	30
			укрупненный анализ	
			проекта по	
			показателям сроков,	
			освоению затрат и	
			финансированию.	
			Проводит экспертную	
			оценку результатов	
			проекта.	
5	ТПУ	Заказчик	Проводит экспертную	30
			оценку результатов	
			проекта.	
		ИТОГО:		1740

4.2.3. Ограничения и допущения проекта

Таблица 6 – Ограничения проекта

Фактор	Ограничения/ допущения
3.1. Бюджет проекта	500000p
3.1.1. Источник финансирования	Российский научный фонд (РНФ)
3.2. Сроки проекта:	Сентябрь 2014 г – июнь 2016 г.
3.2.1. Дата утверждения плана управления проектом	01.09.2014
3.2.2. Дата завершения проекта	24.06.2016
3.3. Прочие ограничения и допущения	Ограничение по времени использования научного оборудования (1 раз в месяц на растровом электронном микроскопе). Ограничение времени работы участников проекта (не более 20 часов в неделю)

4.3 Планирование и график НИР

4.3.1 Иерархическая структура работы

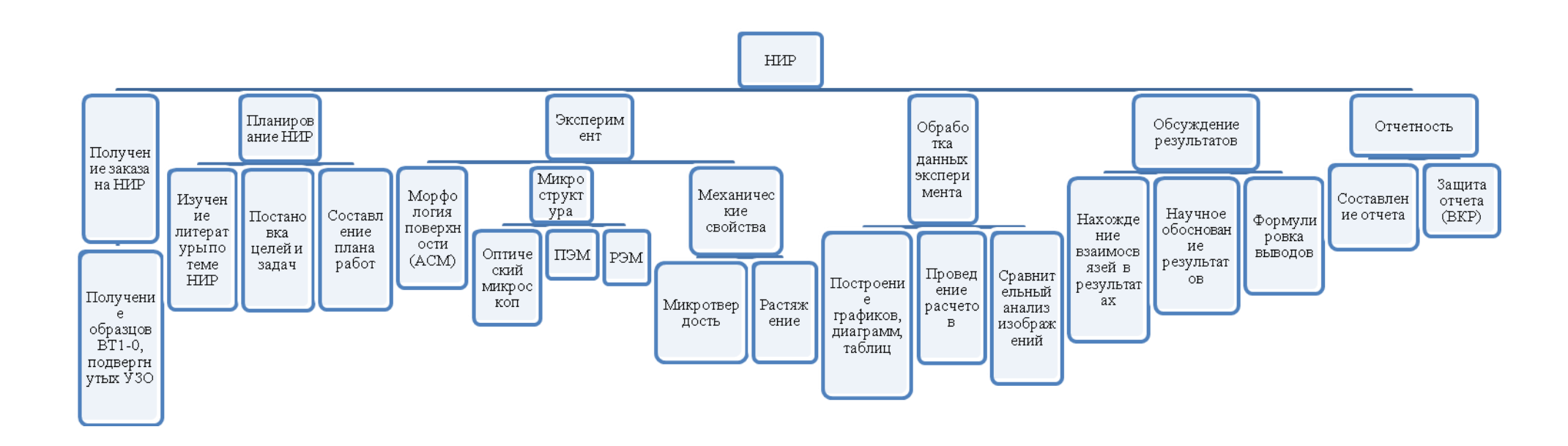


Рисунок 13 – Иерархическая структура НИР

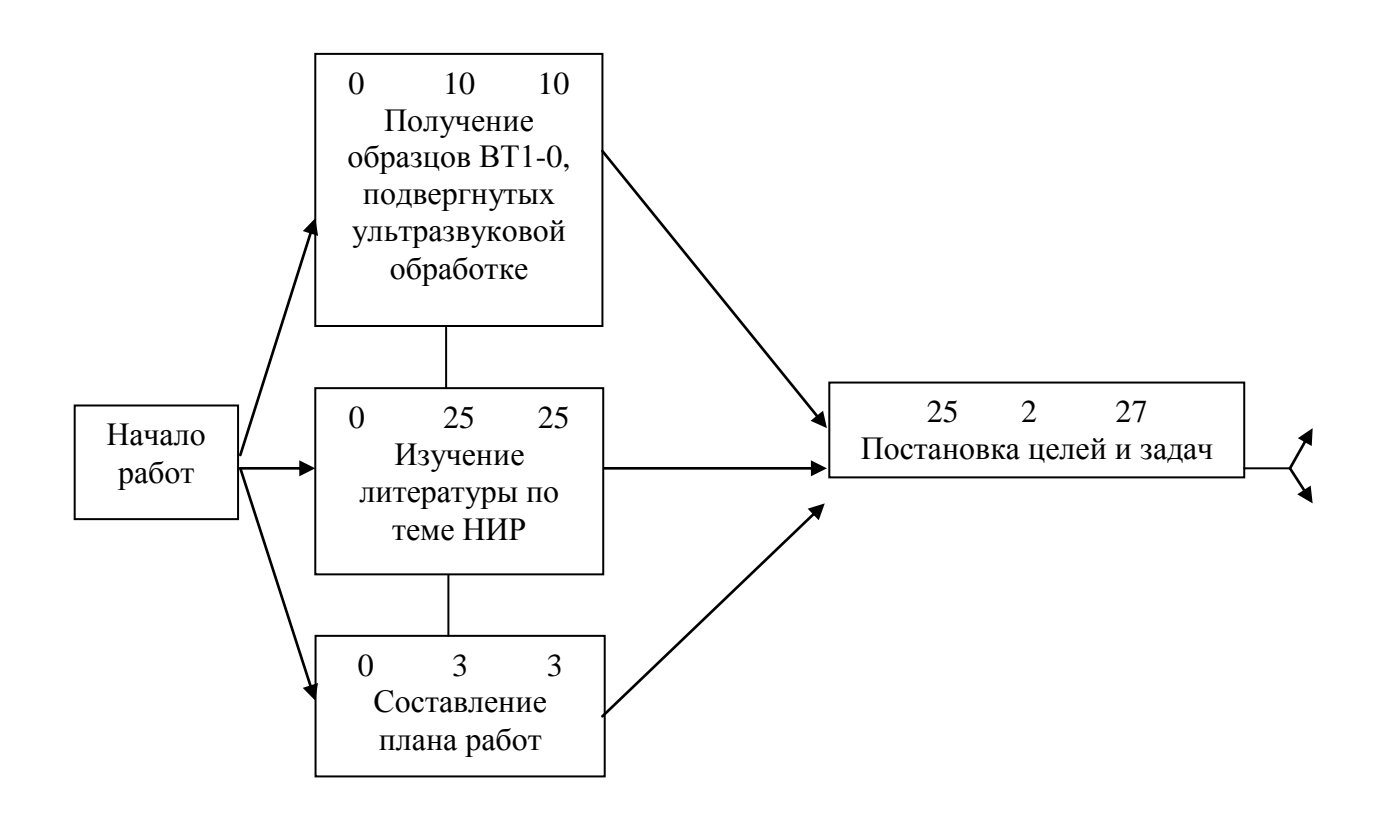
4.3.2 Календарный план проекта

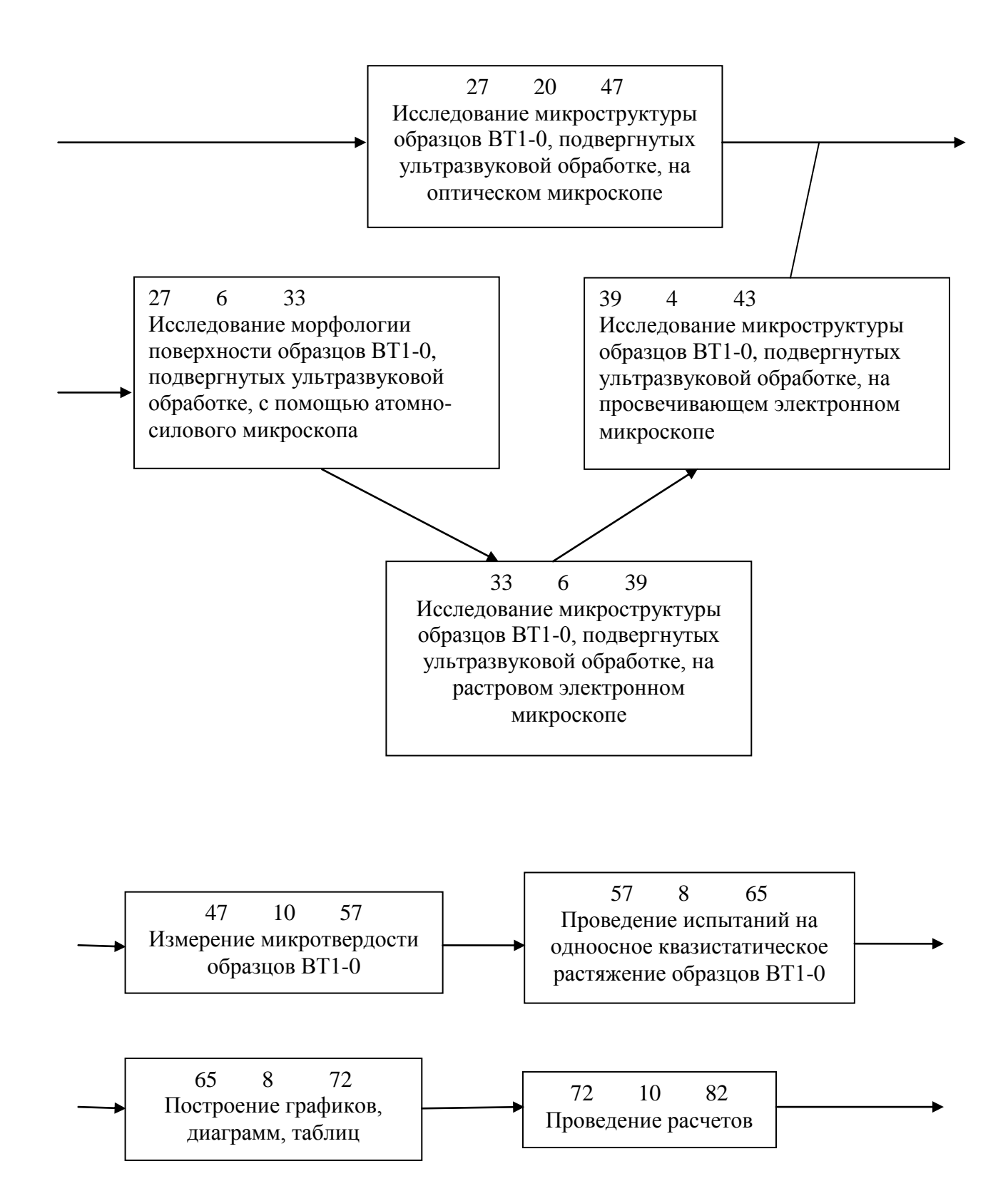
Таблица 7 – Календарный план проекта

Название работы	Длительность, дни	Дата начала работ	Дата окончания работ	Состав участников (ФИО ответственных исполнителей)
Получение образцов технического титана ВТ1-0, подвергнутых ультразвуковой обработке	10	01.09.2014	12.09.2014	Козельская А. И. (мнс)
Изучение литературы по теме НИР	25	01.09.2014	03.10.2014	Хайруллин Р. Р. (инж)
Составление плана работ	3	01.09.2014	03.09.2014	Панин А. В. (зав. лаб.)
Постановка целей и задач	2	06.10.2014	08.10.2014	Хайруллин Р. Р. (инж), Панин А. В. (зав. лаб.)
Исследование микроструктуры образцов технического титана ВТ1-0, подвергнутых ультразвуковой обработке, на оптическом микроскопе	20	09.10.2014	07.11.2014	Хайруллин Р. Р. (инж)
Исследование морфологии поверхности образцов технического титана ВТ1-0, подвергнутых ультразвуковой обработке, с помощью атомносилового микроскопа	6	09.10.2014	16.10.2014	Козельская А. И. (мнс)
Исследование микроструктуры образцов технического титана ВТ1-0, подвергнутых ультразвуковой обработке, на растровом электронном микроскопе	6	17.10.2014	24.10.2014	Козельская А. И. (мнс)
Исследование микроструктуры образцов технического титана ВТ1-0, подвергнутых ультразвуковой обработке, на просвечивающем электронном микроскопе	4	27.10.2014	30.10.2014	Козельская А. И. (мнс)
Измерение микротвердости образцов ВТ1-0, подвергнутых ультразвуковой обработке	10	10.11.2014	21.11.2014	Хайруллин Р. Р. (инж)

Название работы	Длительность, дни	Дата начала работ	Дата окончания работ	Состав участников (ФИО ответственных исполнителей)
Проведение испытаний на	8	24.11.2014	03.12.2014	Хайруллин Р. Р. (инж)
одноосное				
квазистатическое				
растяжение образцов ВТ1-				
0, подвергнутых				
ультразвуковой обработке				
Построение графиков,	8	04.12.2014	15.12.2014	Хайруллин Р. Р. (инж)
диаграмм, таблиц				
Проведение расчетов	10	16.12.2014	29.12.2014	Хайруллин Р. Р. (инж)
Сравнительный анализ	6	20.11.2015	27.11.2015	Хайруллин Р. Р. (инж)
изображений				
Научное обоснование	20	30.11.2015	25.12.2015	Хайруллин Р. Р.
результатов				(инж), Панин А. В.
				(зав. лаб.)
Нахождение взаимосвязей	10	30.11.2015	11.12.2015	Хайруллин Р. Р.
в результатах				(инж), Панин А. В.
				(зав. лаб.)
Формулировка выводов	4	14.12.2015	17.12.2015	Панин А. В. (зав. лаб.)
Составление отчета	25	01.02.2016	10.03.2016	Хайруллин Р. Р. (инж)
Защита отчета (ВКР)	1	24.06.2016	24.06.2016	Хайруллин Р. Р. (инж)

4.3.3 Сетевой график выполнения НИР





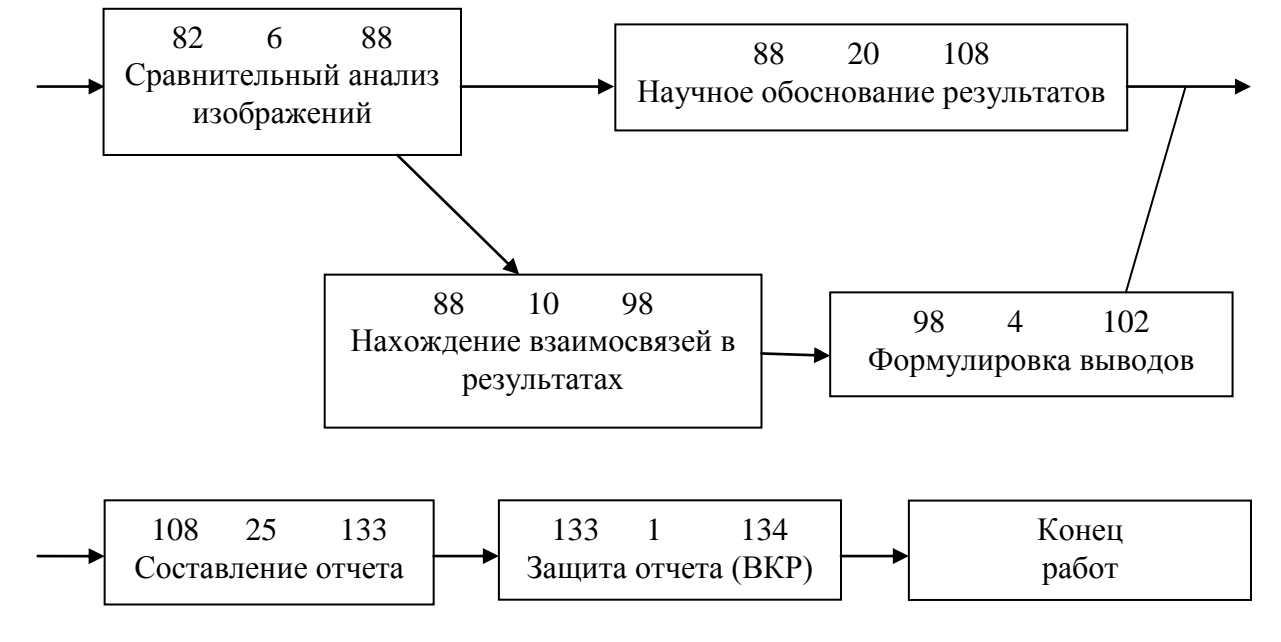


Рисунок 14 - Сетевой план-график выполнения НИР

4.4 Составление сметы затрат

Смета затрат будет составлена по следующим статьям:

- 1. Амортизация оборудования;
- 2. Основные и вспомогательные материалы;
- 3. Заработная плата:
 - 3.1 Основная заработная плата;
 - 3.2 Дополнительная заработная плата;
- 4. Отчисления на социальные нужды;
- 5. Электроэнергия;
- 6. Прочие накладные.

4.4.1 Затраты на амортизацию оборудования

Затраты на амортизацию оборудования рассчитываются по формуле:

$$3_{o6} = (\coprod \bullet F_{\phi}) / (F_{\scriptscriptstyle H} \bullet F_{cc}),$$

где **Ц** — цена оборудования, р.; $\mathbf{F_{H}}$ — номинальный фонд времени (рабочее время в году), ч; $\mathbf{F_{cc}}$ — срок службы оборудования, год; $\mathbf{F_{\varphi}}$ — фактическое время занятости оборудования в НИР, ч. $\mathbf{F_{H}}$ = 365 — 104 — 11 = 250 дней = 2000 ч.

Вычисленная амортизация оборудования представлена в таблице 8. Данные взяты на основе отчета лаборатории.

Таблица 8 – Затраты на амортизацию оборудования

№	Наименование оборудования	Ц, р.	F _{cc} ,	Fφ,	3 ₀₀ , p.
			год	ч.	
1	Атомно-силовой микроскоп Solver HV	10000000	20	24	6000
2	Оптический микроскоп Zeiss Axiovert	1000000	10	160	8000
3	Растровый электронный микроскоп LEO	8000000	20	40	8000
	EVO 50				
4	Просвечивающий электронный	7000000	20	40	7000
	микроскоп ЈЕМ-2100				
5	Испытательная машина INSTRON	2000000	20	40	2000
6	Микротвердомер ПМТ-3	120000	15	40	160
7	Установка для ультразвуковой обработки	200000	20	40	200
8	Установка для вырезки образцов	1000000	20	80	2000
9	Компьютер	30000	8	900	1687,5
ИТО	ΓΟ:				35047,5

4.4.2 Затраты на основные и вспомогательные материалы

В данной работе в качестве исходного основного материала использовался лист технического титана марки BT1-0 размерами $1\times1000\times2000$ мм. Цена за кг с учетом транспортных расходов составляет 2000р.

Приобретенные основные и вспомогательные материалы приведены в таблице 9. Данные взяты на основе отчета лаборатории.

Таблица 9 – Основные материалы и комплектующие изделия

$N_{\underline{0}}$	Материал	Единица	Цена,	Кол - во,	Затраты на	
		материала	р./ед.	ед.	НИР, р.	
1	Лист из титана BT1-0	ΚΓ	2000	2	4000	
2	Наждачная бумага	упаковка	1000	1	1000	
3	Алмазная паста	тюбик	300	1	300	
4	4 Спирт технический л 120 3					
5	Вспомогательные				400	
	материалы					
Ито	6060					
Hey	60					
Bce	6120					

4.4.3 Затраты на заработную плату

Для выполнения данной работы требуется 3 исполнителя — заведующий лабораторией (зав. лаб.), младший научный сотрудник (м.н.с) и инженер лаборатории (инж).

Исходными нормативами заработной платы данных категорий работающих является оклад, определяющий уровень месячной заработной платы в зависимости от объема и ответственности работ.

Оклад рассчитывают по следующему выражению:

$$L_o = T_c \cdot T_{pi}$$

где Т $_{\rm c}$ – тарифная ставка (данные НИИ ИФПМ СО РАН);

Т рі — фактически отработанное время (Таблица 7).

Основную заработную плату рассчитывают следующим образом:

$$L_{och} = L_o + 0.3 \cdot L_o$$

где L_o - оклад;

0,3 • L $_{\rm o}$ - районный коэффициент (30% L $_{\rm o}$).

Дополнительную заработную плату рассчитываются по формуле:

$$L_{\text{доп}} = 0,2 \cdot L_{\text{осн}}$$

Вычисленные затраты на заработную плату представлены в таблице 10.

Таблица 10 – Затраты на заработную плату	Таблица	10 - 3aT	раты на заг	работную	плату
--	---------	----------	-------------	----------	-------

№	Статьи	Зав. Лаб.	MHC	жни
1	Т с , р./день	1600	880	570
2	Т _{рі} , дн	39	26	145
3	L_o , p.	62400	22880	82650
4	0,3 * L _o , p.	18720	6864	24795
5	L _{осн} , p.	81120	29744	107445
6	L доп , p.	16224	5948,8	21489
7	$\sum (L_{\text{ осн}} + L_{\text{ доп}}), p.$	97344	35692,8	128934

Основная заработная плата составит: 81120 + 29744 + 107445 = 218309 р.

Дополнительная заработная плата составит: 16224 + 5948,8 + 21489 = 43661,8 р.

Итого фонд оплаты труда: 97344 + 35692,8 + 128934 = 261970,8 р.

4.4.4 Отчисления на социальные нужды

На основании пункта 1 ст.58 закона №212-ФЗ для учреждений осуществляющих образовательную и научную деятельность в 2014 году вводится пониженная ставка для расчета отчислений во внебюджетные фонды -27,1% от фонда оплаты труда.

Таким образом, затраты на страховые отчисления составят:

$$261970,8 \cdot 0,271 = 70994,09p.$$

4.4.5 Затраты на электроэнергию

Затраты на электроэнергию рассчитываются по формуле:

Э=Ц×N×n×
$$t_{\text{зан.ч}}$$

где Ц — стоимость 1 кВт•ч электроэнергии, р.;

N — мощность оборудования, кВт;

n — количество единиц оборудования одного вида, ед.;

 $t_{\text{зан.ч}}$ — время занятости оборудования, ч.;

Вычисленные затраты на электроэнергию представлены в таблице 11

Таблица 11 – Затраты на электроэнергию

	Наименование оборудования	Цена,	N,	n	t _{зан.ч} ,	Затраты,
		Ц, р.	кВт		Ч.	p.
1	Атомно-силовой микроскоп	4,36	1,5	1	24	156,96
	Solver HV					
2	Оптический микроскоп Zeiss	4,36	0,7	1	160	488,32
	Axiovert					
3	Растровый электронный	4,36	2	1	40	348,8
	микроскоп LEO EVO 50					
4	Просвечивающий электронный	4,36	2	1	40	348,8
	микроскоп ЈЕМ-2100					
5	Испытательная машина	4,36	2	1	40	348,8
	INSTRON					
6	Микротвердомер ПМТ-3	4,36	0,6	1	40	104,64
7	Установка для ультразвуковой	4,36	0,3	1	40	52,32
	обработки					
8	Установка для вырезки	4,36	0,6	1	80	209,28
	образцов					
9	Компьютер	4,36	0,3	1	900	1177,2
	Итого:		<u> </u>			3235,12

4.4.6 Смета затрат на НИР

Теперь сложим все прямые затраты на исследование (Таблица 12).

Таблица 12 – Прямые затраты

№	Затраты	Сумма, р.
1	Основные и вспомогательные материалы	6120
2	Основная заработная плата	218309
3	Дополнительная заработная плата	43661,8
4	Страховые отчисления	70994,09
Ито	го:	339084,89

Расшифровка накладных расходов представлена в таблице 13 (данные НИИ ИФПМ).

Прочие накладные расходы составят 50% от основной заработной платы, т.е.

Таблица 13 – Накладные расходы

No	Затраты	Сумма, р.	
1	Амортизация оборудования	35047,5	
2	Электроэнергия	3235,12	
3	Прочие	109154,5	
Итого:		147437,12	

Общие затраты на исследование будут равны сумме прямых и накладных затрат:

$$339084,89 + 147437,12 = 486522,01 p.$$

Значит, при проведении НИР необходимо затратить 486522,01 р.

Составим смету затрат на НИР (Таблица 14).

Таблица 14 – Смета затрат на НИР

№	Элементы затрат	Сумма, р.	%
1	Заработная плата	261970,8	53,8
2	Страховые отчисления	70994,09	14,6
3	Затраты на материалы	6120	1,3
4	Амортизация оборудования	35047,5	7,2
5	Затраты на электроэнергию	3235,12	0,7
6	Прочие накладные расходы	109154,5	22,4
8	ИТОГО: себестоимость S	486522,01	100
9	Плановая прибыль (рентабельность Р=25%)	121630,5	
10	Цена выполнения НИР	608152,51	
11	НДС (18%)	109467,45	
12	Всего с НДС	717619,96	

Таким образом, в данном разделе работы проведено экономическое обоснование проведенных исследований:

-рассчитана себестоимость НИР, которая составила 486522,01 р.;

-рассчитана договорная цена на проведение НИР с учетом рентабельности в 25% и НДС (18%), которая составила 717619,96 р.;

-рассчитано время проведения НИР – 134 дня.

Учитывая, что размер гранта составляет 500000р, фактическая рентабельность НИР P_{ϕ} = (500000-486522,01)•100/486522,01=2,8 %

Список публикаций студента

- 1. Panin A. V., Kazachenok M.S., Kozelskaya A.I., Hairullin R.R., Sinyakova E. A. Mechanisms of surface roughening of commercial purity titanium during ultrasonic impact treatment // Materials Science and Engineering A. 2015. V. 647. P. 43-50.
- 2. R R Hairullin, A I Kozelskaya, A V Panin and M S Kazachenok. Microstructure and mechanical properties of CP-Ti subjected to UIT // IOP Conference Series: Materials Science and Engineering. 2015. Vol.93 Article number 012050. p. 1-4.
- 3. Anna Kozelskaya, Alexey Panin, Marina Kazachenok, Rustam Hairullin, Elena Sinyakova, Yurii Pochivalov, and Olga Perevalova. Structure fragmentation of a surface layer of commercial purity titanium during ultrasonic impact treatment // AIP Conference Proceedings. − 2015. − V.1683. − №020100. − p. 1-4.
- 4. Хайруллин Р. Р., Панин А. В., Козельская А. И., Казаченок М. С., Синякова Е. А., Почивалов Ю. И., Перевалова О. Б. Влияние исходной зеренной структуры технически чистого титана на эффект ультразвуковой обработки // Тезисы докладов Международной конференции «Перспективные материалы с иерархической структурой для новых технологий и надежных конструкций». ИФПМ СО РАН, 2015. С. 228-229.
- 5. Козельская А. И., Панин А. В., Казаченок М. С., Синякова Е. А., Хайруллин Р. Р., Почивалов Ю. И. Закономерности измельчения структуры поверхностного слоя титана ВТ1-0 в процессе ультразвуковой обработки // Тезисы докладов Международной конференции «Перспективные материалы с иерархической структурой для новых технологий и надежных конструкций». ИФПМ СО РАН, 2015. С. 457-458.
- 6. Хайруллин Р. Р. Ультразвуковая обработка мелко- и крупнозернистого технически чистого титана // сборник тезисов докладов III Всероссийского конкурса научных докладов студентов «Функциональные материалы: разработка, исследование, применение». Томск: Издательство Томского политехнического университета, 2015. С. 78.

- 7. R. Hairullin, A. Kozelskaya, A. Panin, M. Kazachenok. Ultrasonic impact treatment of fine- and coarse grain commercial purity titanium // Abstracts book of International Conference «Sustainable Materials Science and Technology», Paris, July 15-17, 2015. Badajoz: University of Extramadura, 2015. P. 147.
- 8. Хайруллин Р. Р., Панин А.В., Козельская А. И., Казаченок М. С., Синякова Е. А., Почивалов Ю. И. Деформационное поведение технически чистого титана, подвергнутого ультразвуковой обработке и последующему растяжению // Сборник материалов VI Международной конференции «Деформация и разрушение материалов и наноматериалов», Москва, 10-13 ноября 2015г. М: ИМЕТ РАН, 2015. С. 114-115.
- 9. Хайруллин Р. Р. Роль исходной структуры технически чистого титана в его упрочнении при ультразвуковой обработке // сборник материалов междисциплинарного молодежного научного форума «Новые материалы. Дни науки. Санкт-Петербург 2015», Санкт-Петербург, 20-22 октября 2015 г. с.65-68.
- 10. Rustam Hairullin, Anna Kozelskaya, Marina Kazachenok. Effect of Ultrasonic Impact Treatment on Microstructure and Mechanical Properties of Commercial Purity Titanium // Key Engineering Materials. 2016. Vol.685 p.330-333.
- 11. Хайруллин Р. Р. Влияние исходного структурного состояния технического титана ВТ1-0 на изменение микроструктуры и микротвердости его поверхностного слоя в процессе ультразвуковой обработки // Инженерия для освоения космоса: сборник научных трудов IV Всероссийского молодежного Форума с международным участием / Томский политехнический университет. Томск: Изд-во Томского политехнического университета, 2016. с 109-112
- 12. Хайруллин Р. Р., Панин А. В., Козельская А. И., Казаченок М. С. Исследование влияния ультразвуковой обработки на микроструктуру и механические свойства технического титана ВТ1-0 // Материалы Международной конференции «Материалы и технологии новых поколений в

современном материаловедении»/ Томский политехнический университет. – Томск: Изд-во Томского политехнического университета, 2016. – в печати